FOTOGRAFIAS

9011.- Aspecto general de los materiales arcósicos que integran la U.T.S. P3 (Arcósica superior). Este panel de cinco diapositivas muestra el banco conglomerático-arenoso que aflora en el Km 12.5 de la carretera que une El Cubo de Don Sancho y Traguntia. Los rasgos más significativos se recogen en la Fig. 1.4.3 de la memoria explicativa.

9012.- Conglomerado arcósico enrojecido. Detalle del techo del banco conglomerático-arenoso que se señala en 9011.

9013.- Conglomerado arcósico blanco. U.T.S. P1 (Arcósica Basal). Proximidades de El Cubo de Don Sancho.

AD-9501: Aspecto de los gneises glandulares.

AD-9502; AD-9503: Aspecto de los gneises glandulares afectados por la zona de cizalla de Juzbado-Penalva do Castelo (ZCJP). Se pueden observar estructuras S-C y glandulas de FK sigmoidales o con sombras de presión.

AD-9504; AD-9505; AD-9506: Granito de Traguntia afectado por la ZCJ-P. Se pueden observar estructuras S-C, fenocristales de FK rotados y reducción del tamaño de grano.

AD-9507: Granito de Traguntia, no se encuentra afectado por la ZCJP.

AD-9508: Aspecto de como aflora el granito de Pozos de Hinojo.

AD-9509: Visu del granito de Pozos de Hinojo.

AD-9510: Aspecto de afloramiento del granito de Alcoba de Ituero (4a).

AD-9511; AD-9512; AD-9513: Enclaves dentro del granito de Alcoba de Ituero.

AD-9514: Dique de leucogranito (15) que corta al granito de Alcoba de Ituero, da lugar a un pequeño resalte topográfico.

AD-9515: Aspecto de visu del dique de leucogranito.

AD-9516; AD-9517: Granito de Yecla de Yeltes (4) afectado por la ZCJP, se observan estructuras S-C con criterio senestro. Plano C: N 70ºE.

AD-9518; AD-9519: Aspecto que presenta el granito de yecla de Yeltes al Oeste de Escuernavacas, es muy rico en restitas, schlieren orientados según N 70ºE y glandulas de FK y cuarzo.

AD-9520; AD-9521: Aspecto de como aflora el granito de Yecla de Yeltes, en el puente sobre el río Huebra mirando hacia el Oeste y Este respectivamente.

AD-9522: Aspecto de visu del granito de Yecla de Yeltes.

AD-9523: Aspecto de afloramiento del granito de Villar de Peralonso.

AD-9524: Aspecto de visu del granito de Villar de Peralonso. En este afloramiento, el granito presenta una foliación según N 75ºE/70ºS.

AD-9525: Aspecto de como aflora el granito de Villavieja de Yeltes en el pago de La Borbollera. Se puede observar el contacto con el granito de Yecla de Yeltes.

AD-9526; AD-9527: Aspecto de como aflora el granito de Villavieja de Yeltes. En la última foto se observa el encajamiento del río Yeltes.

AD-9528 a AD-9533 (a.i.): Diversos aspectos de visu de la facies porfídica dentro del macizo de Villavieja de Yeltes.

AD-9534; AD-9535: Aspecto de visu de la facies de grano grueso, dos micas, "ala de mosca" del macizo de Cipérez-Garcirrey.

AD-9536: Aspecto de visu de la facies de grano medio, dos micas con textura "ala de mosca" del macizo de Cipérez-Garcirrey.

AD-9537, AD-9538: Aspecto de visu del dique de porfido granítico que se encuentra en el macizo de Cipérez-Garcirrey.

AD-9539: Textura granofídica en el dique de porfido. Nc.; x4.

AD-9540: Fractura que pone en contacto el granito de Villavieja de Yeltes con materiales terciarios.



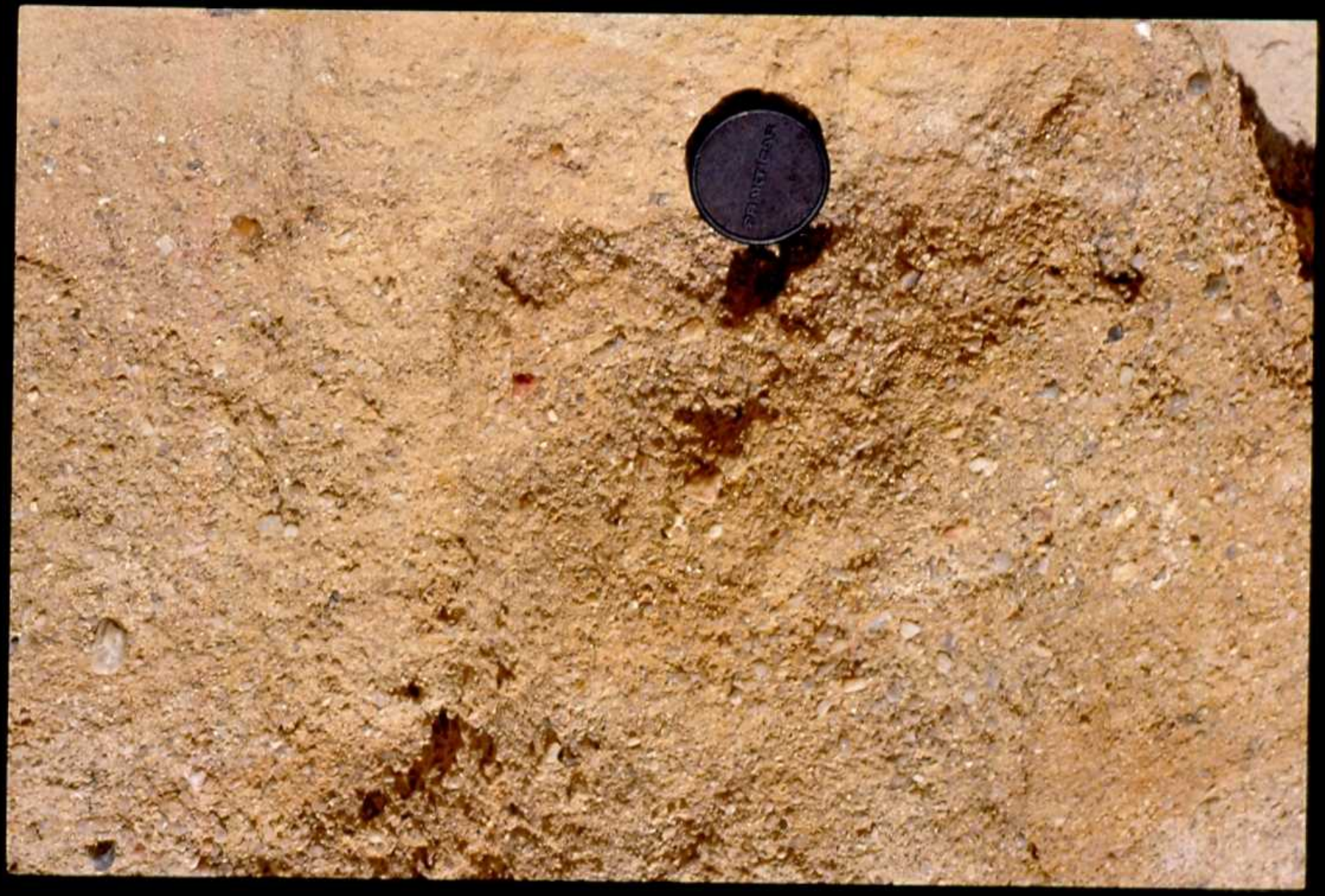









TOKINA





AD-
9501



AD-
9502



AD-
9503



AD-
9504



AD-
9505



AD-
9506



AD-
9507



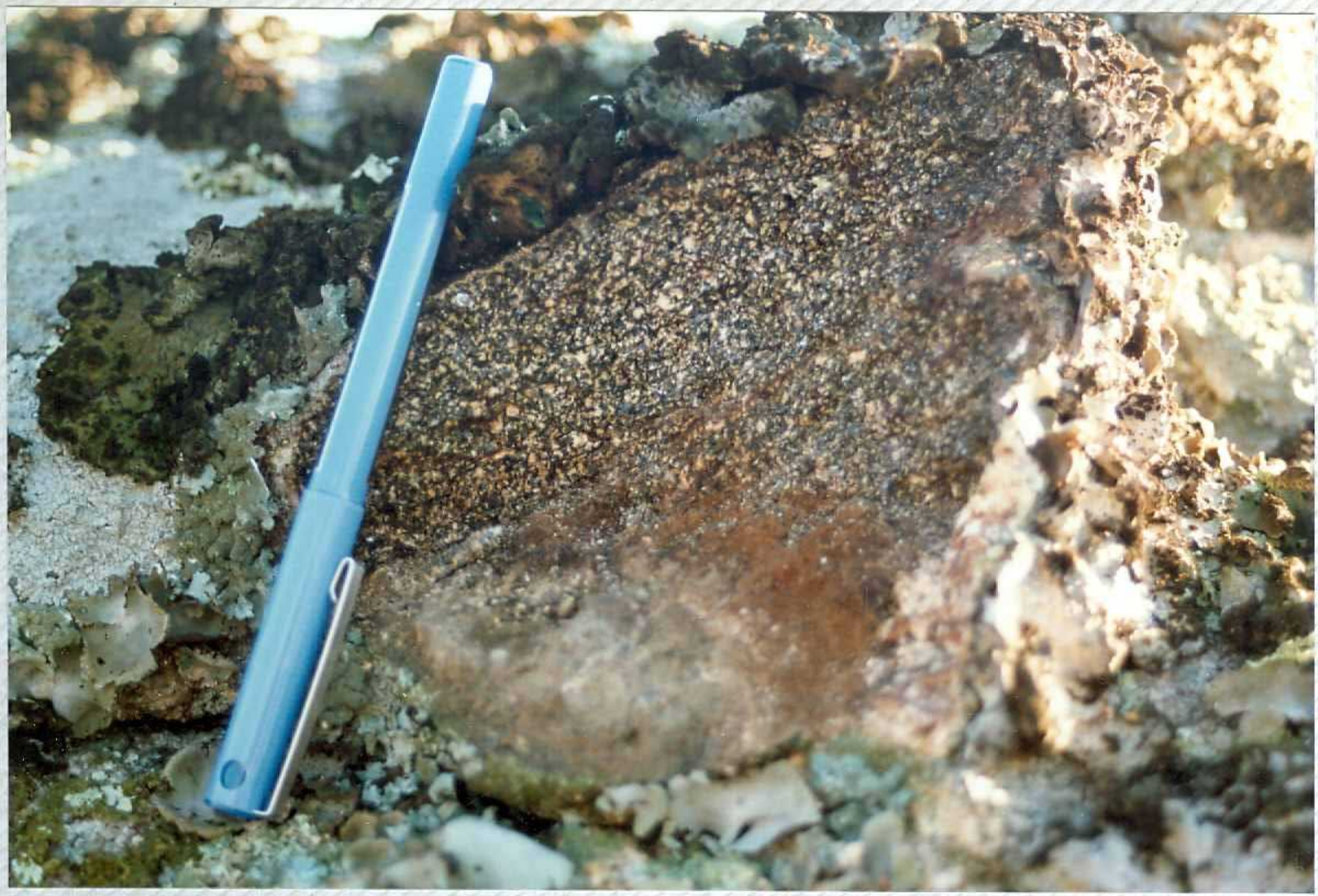
AD-
9508



AB-9509



AD-
9510



AD-
9511



AD-
9512



AD-
9513



AD-
9514



AD-
9515



AD-
9516



AD-
9517



AD-
9518



AD-
9519



Ab-
9520



AD-
9521



AD-
9522



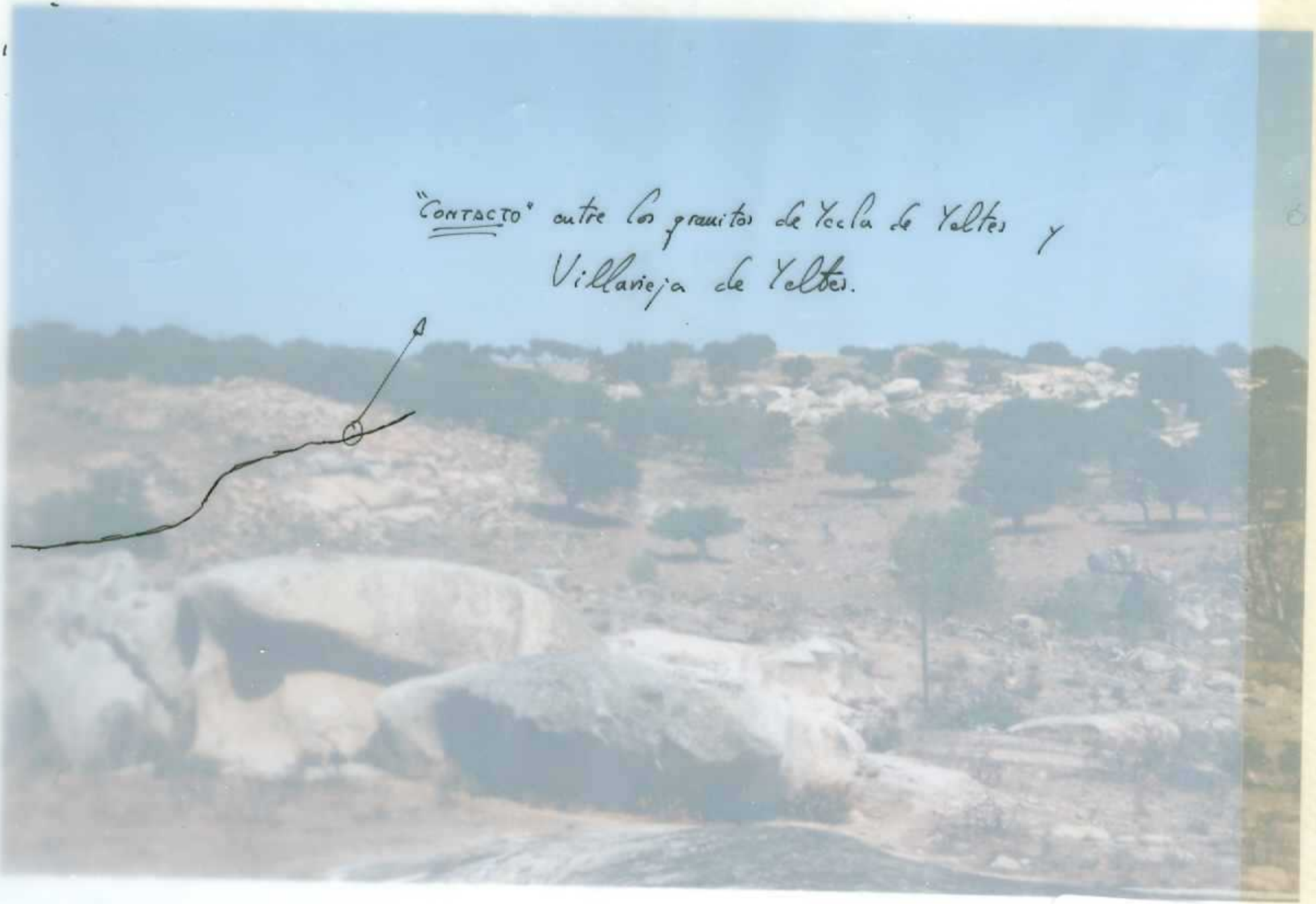
AD-
9523



AD-
9524



AD-
9525



"CONTACTO" entre los granitos de Yecla de Yeltes y Villanueva de Yeltes.

AD-
9525



AD-
9526



A2

9527



AD-
9528



AD-
9529



AD-
9530



AD-
9531



AD-
9532



AD-
9533



AD-
9534



AD-
9535

9536
-45



AD-
9537

A3-
9538



AD-
9539



AD-
9540


FRACTURA
GRANITO.
TERCIARIO.